

## Mecánica pulmonar en el síndrome de distrés respiratorio agudo pediátrico asociado a COVID-19 aguda y MIS-C

Lung mechanics in pediatric acute respiratory distress syndrome associated to acute COVID-19 and MIS-C

**Tabla Suplementaria 1. Definiciones de casos para grupos según las pruebas diagnósticas disponibles**

	COVID-19 rt-PCR	MIS-C criterio	COVID-19 IgM	COVID-19 IgG
C-PARDS	(+)	(-)	N/A	N/A
	(-)	(-)	(+)	(-)
MIS-PARDS	(-)	(+)	(-)	(-)*
	(+)	(+)	(-)	(+)
	(-)	(+)	(+)	(+)

C-PARDS, síndrome respiratorio agudo pediátrico asociado a la infección por COVID-19; MIS-PARDS, síndrome respiratorio agudo pediátrico asociado al síndrome inflamatorio multisistémico; rt-PCR: reacción en cadena de la polimerasa con transcriptasa inversa; MIS-C: síndrome inflamatorio multisistémico en niños. \*contacto epidemiológico.

**Tabla Suplementaria 2. Hallazgos del ecocardiograma en C-PARDS y MIS-PARDS**

	Todo n = 30	MIS-PARDS n = 14	C-PARDS n = 16
Coronarias anormales	2	2	0
Disfunción del VI	4	4	1
EF < 50%	0	0	0
Sin Echocardiogram	10	1	9

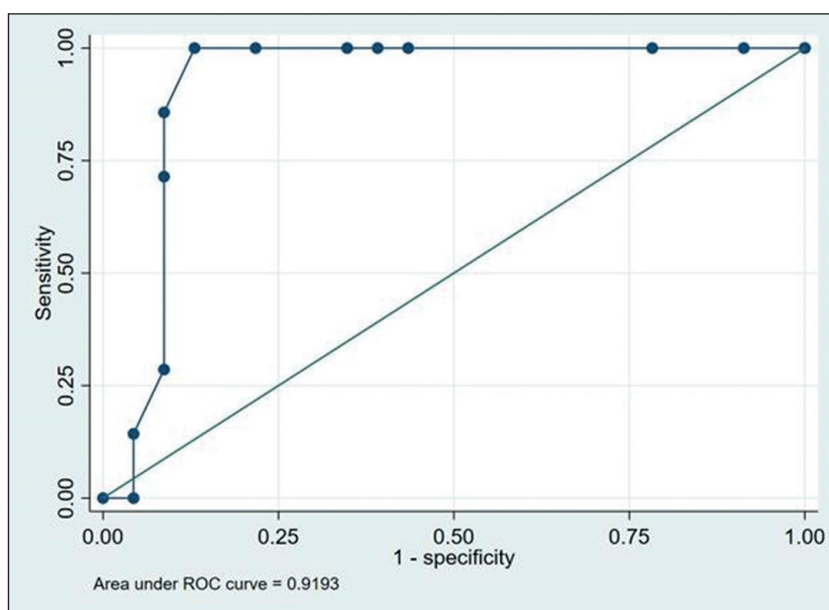
C-PARDS, síndrome respiratorio agudo pediátrico asociado a la infección por COVID-19; MIS-PARDS, síndrome respiratorio agudo pediátrico asociado al síndrome inflamatorio multisistémico; VI: ventrículo izquierdo.

**Tabla Suplementaria 3. Resultados de las pruebas en ambos grupos**

	Todo	MIS-PARDS	C-PARDS
SARS-CoV-2 ensayo			
Prueba viral, positiva (No probado)	10/26 4 (13)	0/14* 3 (21)	10/16 1 (6)
Prueba de anticuerpos			
IgM [+]/IgG [+]	12/26	4/14	8/12
IgM [-]/IgG [+] (No probado)	12/26 4 (13)	10/14* 0 (0)	2/12 4 (25)

**Tabla Suplementaria 4. Mecánica pulmonar y características de PARDS asociadas a la mortalidad**

	Todo n. 30	Sobrevivientes n. 23	No Sobrevivientes n. 7
Oxigenación			
FiO <sub>2</sub>	60 (45-100)	55 (45-60)	100 (45-100)
PaO <sub>2</sub> , mmHg	80 (60-100)	85 (60-100)	77 (56-80)
PaO <sub>2</sub> /FIO <sub>2</sub>	130 (85-228)	130 (98-230)	80 (70-171)
PaO <sub>2</sub> /FIO <sub>2</sub> < 100	12 (40)	15 (65)	3 (43)
P(A-a) O <sub>2</sub> , mmHg	246 (165-399)	240 (141-330)	547 (182-580)
Índice de oxigenación	9,7 (6,1-19,9)	8,4 (4,3-15)	22,5 (8,6-24)
Gravedad de PARDS			
Leve (4 to < 8)	6 (20)	6 (26)	0 (0)
Moderado (8 to < 16)	15 (50)	12 (52)	3 (43)
Severo ( $\geq 16$ )	9 (30)	5 (22)	4 (57)
Posición prona	9 (30)	6 (26)	3 (43)
Prono duración, horas	48 (48-48)	48 (48-48)	48 (48-96)
Neuromuscular bloqueador	13 (43)	8 (35)	5 (71)
Gasometría arterial			
pH	7,33 (7,19-7,39)	7,35 (7,22-7,42)	7,18 (6,9-7,39)
PaCO <sub>2</sub> , mmHg	44 (33-51)	38 (33-51)	51 (45-59)
Bicarbonato, mmol/L	21 (17-24)	21 (18-24)	17 (11-27)
Hemoglobina, g/dL	10,3 (9,6-11,0)	10,0 (9,6-12,0)	10,6 (9,0-11,0)
Lactato, mmol/L	1,6 (1,0-3,0)	1,6 (0,9-3,0)	2 (1,0-7,9)
Mecánica pulmonar			
PIP, cmH <sub>2</sub> O	28 (24-32)	25 (23-28)*	33 (32-35)
Pplat	20 (16-30)	18 (15-22)*	30 (28-30)
PEEP, cmH <sub>2</sub> O	7 (6-11)	7 (6-11)	10 (7-12)
Paw	12,7 (11,0-16,4)	12,2 (10,0-16,3)	16 (12,1-18,3)
V <sub>T</sub> , ml/kg	7 (6-8)	7 (6-8)	7 (6-9)



**Figura Suplementaria 1.** Análisis de la curva del operador del receptor para la presión de conducción y la mortalidad. El área bajo la curva ROC fue 0,91 (IC del 95%: 0,81-1,00), y el mejor punto de corte fue 15 cmH<sub>2</sub>O (sensibilidad del 100% y especificidad del 87%).